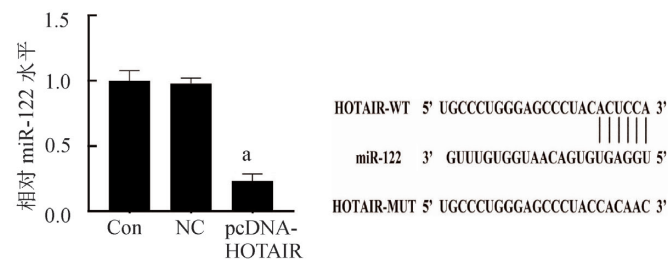


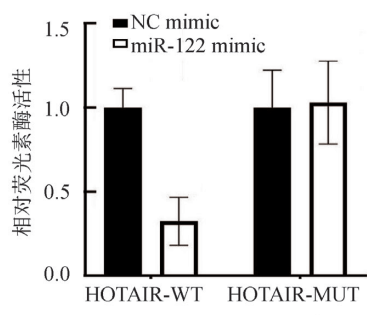
注: Con 为对照组, NC 为转染 pcDNA 空质粒组, pcDNA-HOTAIR 为转染 pcDNA-HOTAIR 组
图 1 细胞内 HOTAIR、miR-122 表达水平



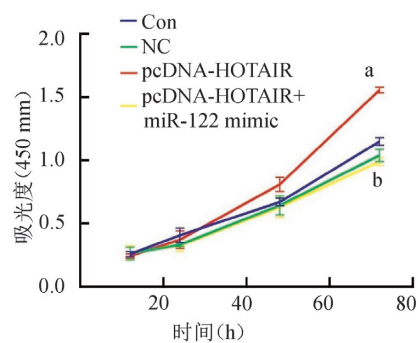
注: 与 NC 组比较, aP < 0.05; Con 为对照组, NC 为转染 pcDNA 空质粒组, pcDNA-HOTAIR 为转染 pcDNA-HOTAIR 组
图 2 细胞内 HOTAIR 表达水平



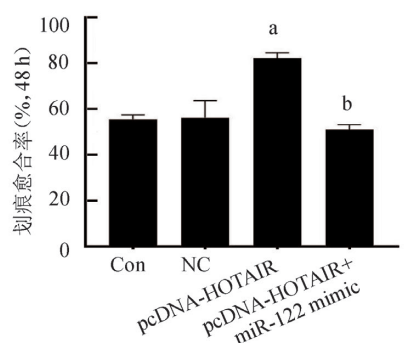
图 4 预测 HOTAIR 与 miR-122 特异互补的核苷酸序列



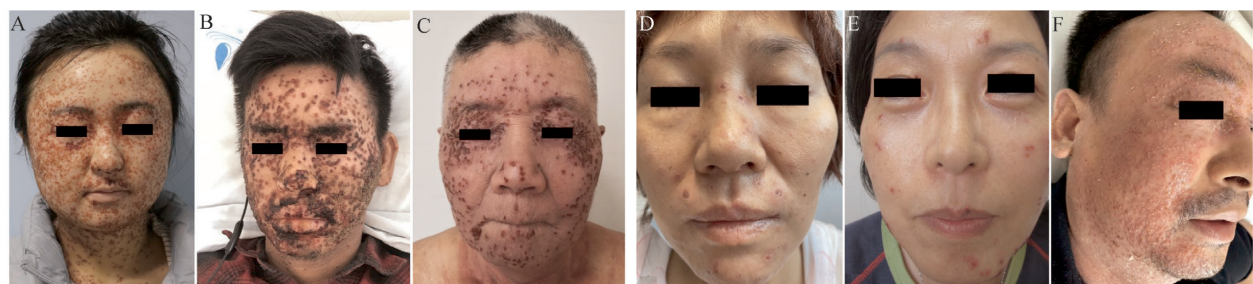
注: 与 HOAIR-MUT+miR-122 组比较, aP < 0.05
图 5 HOTAIR 对 miR-122 基因表达水平的影响



注: 与 NC 组比较, aP < 0.05; 与 HOAIR 组比较, bP < 0.05
图 6 HOAIR 对 CAL27 细胞增殖能力的影响



注: 与 NC 组比较, aP < 0.05; 与 HOAIR 组比较, bP < 0.05
图 7 HOAIR 对 CAL27 细胞迁移能力的影响



注: A ~ C、F 头面颈部可见大量片状密集水疱、脓疱,部分皮损中央可见脐凹,周围有红晕,表面覆以蜜黄色痴皮及黑色痴皮; B ~ C、F 面部可见弥漫性红斑; D ~ E 患者头面部可见散在丘疹、脓疱,部分水疱中央可见脐凹,周围有红晕,部分表面覆以黑色痴皮

图 8 患者面部皮损临床表现照片



注: A ~ B 为镜下可见黄红色背景, 黄黑色痴皮, 周围可见白色鳞屑及红晕(A 为偏振光, ×20; B 为非偏振光, ×20); C ~ D 为镜下可见黄红色背景, 非偏振光下脓疱中央可见脐凹, 黄色痴皮, 周围可见红晕(C 为偏振光, ×20; D 为非偏振光, ×20)

图 9 面部皮损皮肤镜照片



图 10 伍德灯下皮损可见亮白色荧光